



بررسی شیمی کانی، همبرزایی و سن‌سنجی سنگ‌های دیابازی گنبد‌های نمکی سازند هرمز، جنوب ایران (استان هرمزگان)

پریچهر احمدی‌مقدم^{۱*}، محسن مرتضوی^۱، محمد پوستی^۱، حمید احمدی‌پور^۲

۱- گروه زمین‌شناسی، دانشکده علوم، دانشگاه هرمزگان، بندرعباس، ایران

۲- گروه زمین‌شناسی، دانشکده علوم، دانشگاه شهید باهنر، کرمان، ایران

(دریافت مقاله: ۹۶/۲/۱۷، نسخه نهایی: ۹۶/۷/۱)

چکیده: سنگ‌های دیابازی سازند هرمز، دستخوش انواع فرآیندهای ثانویه دگرسانی و دگرگونی رخساره‌ی شیبست سبز تا اوایل رخساره‌ی آمفیبولیت شده‌اند. این سنگ‌ها، در نتیجه فرآیند دگرنهادی نفوذی و دگرسانی گرمایی، دگرسان و به دلیل سیال‌های آبدار غنی از CO_2 و برهم‌کنش سنگ-سیال، دگرگون شده‌اند. کانی‌های فلدسپات، پیروکسن، البوین، آپاتیت، روتیل، مگنتیت و پیریت، جزء کانی‌های ماگمایی اولیه‌ی این سنگ‌ها و سایر کانی‌های موجود در این سنگ‌ها، فراورده تبدیل کانی‌های اولیه در اثر دگرسانی و دگرگونی گرمایی هستند. فلدسپات‌ها به لابرادوریت، آلبیت و ارتوکلاز تفکیک می‌شوند. لابرادوریت و آلبیت در دمای کمتر از ۷۰۰ درجه‌ی سانتی‌گراد و فشار کمتر از ۶ کیلوپار متبلور شده‌اند که شرایط دمای باز تبلور آنهاست. ارتوکلاز در ۷۰۰ درجه‌ی سانتی‌گراد، ۶ کیلوپار و بیش از ۱۰۰۰ درجه‌ی سانتی‌گراد، بیش از ۷ کیلوپار متبلور شده‌اند و جزء کانی‌های ماگمایی است. کلینوپیروکسن‌ها به اوزیت و دیوپسید تفکیک می‌شوند که در دمای ۱۱۰۰ تا ۱۳۰۰ درجه سانتی‌گراد متبلور شده و جزء کانی‌های ماگمایی هستند. پیروکسن‌ها نیمه‌قلیایی تا قلیایی هستند و در محیط بازالت‌های تولیتی درون‌صفحه‌ای یا بازالت‌های کف‌اقیانوسی تشکیل شده‌اند. پلاژیوکلاز فلدسپات‌ها و کلینوپیروکسن‌ها شرایط اکسیدان را نشان می‌دهند. با توجه به زیرکن‌های تجزیه شده‌ی دیابازهای گنبد نمکی بند معلم ($539.4 \pm 6.4 \text{ Ma}$) و گنبد نمکی چمپه ($543.5 \pm 6.1 \text{ Ma}$)، سن تبلور و تشکیل این سنگ‌ها، کامبرین پیشین است. بیشتر این زیرکن‌ها، خاستگاه ماگمایی دارند. سن این دیابازها نشان می‌دهد که نفوذ آنها همزمان و/یا پس از شروع کافت‌شدگی پیشین زیستی نو تا کامبرین پیشین بخش شمالی صفحه‌ی عربستان و رسوب‌گذاری سازند هرمز در حوضه‌ی خلیج فارس بوده است.

واژه‌های کلیدی: گنبد نمکی، سازند هرمز، دیاباز، شیمی کانی، همبرزایی، سن‌سنجی.

مقدمه

سنگ، دولومیت، آهک، گچ و سنگ‌های ماگمایی، مانند ریولیت و دیاباز را سازند هرمز نام نهاده‌اند و با مقایسه آن با معادل‌های خود یعنی سری ریزو در استان کرمان و سازند سلطانیه در البرز [۲]، سن این مجموعه را اینفراکامبرین [۳] یا پیشین زیستی نو-کامبرین پیشین [۴] برآورد کرده‌اند. سنگ‌های نفوذی دیابازی با نام کلی سنگ‌سبز [۲]، تنها نشانه‌ی ترکیبات احتمالی پی‌سنگ را فراهم می‌کنند [۲]. همچنین گنبد‌های نمکی در جنوب ایران بخش بسیار مهمی

خلیج فارس و کوه‌های زاگرس (سازند هرمز)، عمان جنوبی (سازند آرا)، کرمان در ایران مرکزی (سازند راور) و استان سالت رینج در پاکستان (سازند سالت رینج)، طی اینفراکامبرین و کامبرین پیشین، همه مناطق بوده‌اند که در آنها نمک در یک حوضه‌ی کافتی در خاورمیانه‌ی گندوانا رسوب‌گذاری کرده است [۱] (شکل ۱ الف). مجموعه‌ی سنگ-های گنبد‌های نمکی جنوب ایران، شامل نمک، مارن، ماسه

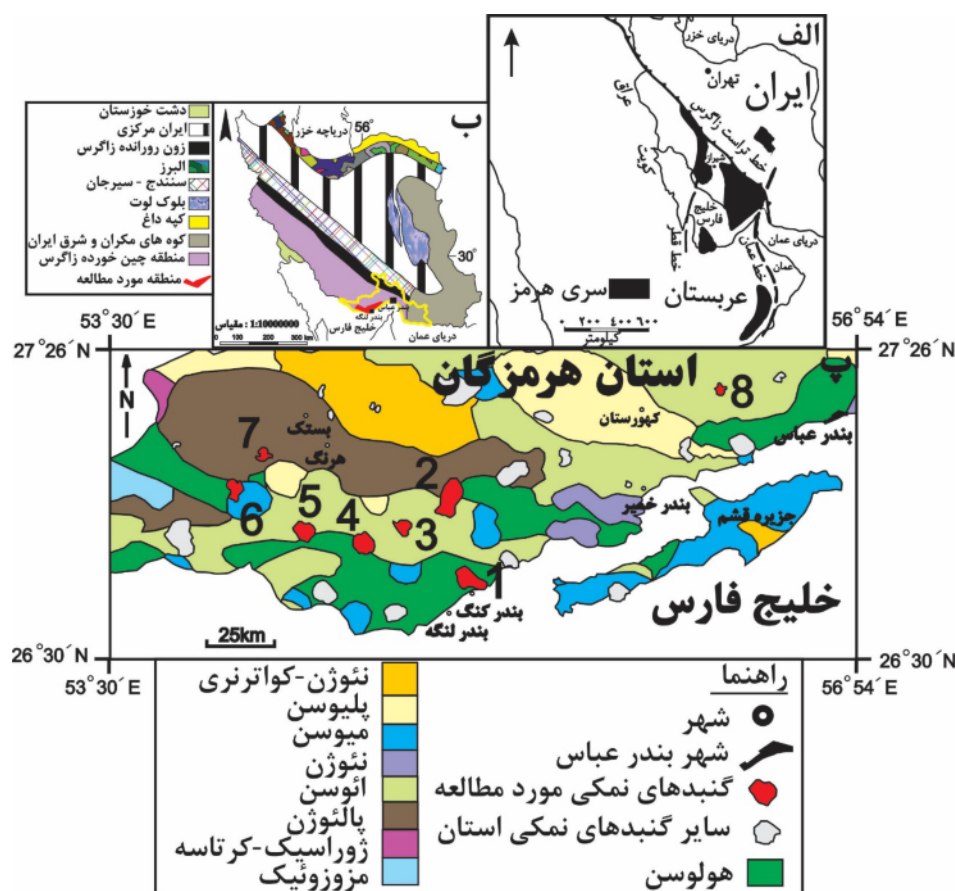
*نویسنده مسئول، تلفن: ۰۹۱۳۲۹۹۰۸۴، نامبر: ۰۳۴۳۳۲۵۷۴۳۵، پست الکترونیکی: pahmadimoghadam@yahoo.com

فرآیندهای بعدی تأثیرگذار بر آنها انجام می‌شود.

روش بررسی

از مجموعه‌ی گنبد‌های نمکی سازند هرمز، دیابازهای موجود در ۸ گنبد نمکی بند معلم، زندان، چمپه، چاه مسلم، باوردان، داربست، گزه و انگورو واقع در استان هرمزگان مورد بررسی قرار گرفتند (شکل ۱ ب)، که شیمی کانی دیابازهای گنبد‌های نمکی زندان، بند معلم و باوردان بررسی و سن دیابازهای گنبد‌های نمکی بند معلم و چمپه بررسی شدند. بررسی‌های میکروسکوپی بر ۳۴ مقطع نازک و ۴ مقطع صیقلی صورت گرفت. سپس تعداد ۱۱ نمونه از سنگ‌های دیابازی در آزمایشگاه شرکت تحقیقات و کانی‌شناسی و زمین‌شناسی کانپژوه واقع در شهرک پردیس تحقیقات رودهن با پراش‌سنج پرتوی X (XRD) مدل PW1830 فیلیپس، بررسی شدند.

از این منطقه و از جمله رشته کوه زاگرس را تشکیل می‌دهند و سنگ‌های دیابازی، به نوبه‌ی خود، بخش بسیار مهم و قابل توجه این گنبد‌ها را تشکیل می‌دهند. پژوهش‌های بسیاری پیرامون گنبد‌های نمکی سازند هرمز انجام شده است (برای مثال، [۵-۱۹]) اما سنگ‌های دیابازی آن چندان بررسی نشده است. بررسی شیمی کانی‌های موجود در سنگ‌های دیابازی این مجموعه خاستگاه و شرایط تشکیل این سنگ‌ها را تا حدی مشخص کرده و سن‌سنجی این سنگ‌ها، روشن می‌کند که تشکیل آنها پیش، همزمان یا پس از تشکیل سازند هرمز بوده است. در این پژوهش، بررسی‌های صحرایی، سنگ‌نگاری مقاطع نازک و صیقلی، تحلیل طیف‌های پراش پرتوی X (XRD)، شیمی کانی و سن‌سنجی به روش U-Pb سنگ‌های دیابازی تعدادی از گنبد‌های نمکی جنوب ایران (استان هرمزگان) برای شناخت شرایط، محیط و سن تشکیل و



شکل ۱ الف- موقعیت سازند هرمز در ایران و خاورمیانه. وضه رسوبات نمکی جنوب عمان- شمال کرمان دارای روند شمالی- جنوبی بوده و از جنوب عمان، ناحیه هائوشی-هاقف تا مرکز ایران کشیده شده است [۲۰]. ب- موقعیت استان هرمزگان در ایران و پهنه‌های ساختاری آن [۲۱]. پ- موقعیت گنبد‌های نمکی مورد بررسی در جنوب ایران (استان هرمزگان). گنبد‌های نمکی ۱: بند معلم، ۲: زندان، ۳: چمپه، ۴: چاه مسلم، ۵: باوردان، ۶: داربست، ۷: گزه و ۸: انگورو [۵].

بررسی‌های شیمی کانی و تهیه‌ی تصاویر الکترونی از کانی‌های موجود در سنگ‌های دیابازی مورد بررسی، بر روی ۴ مقطع نازک دوبرصیقل، در آزمایشگاه کانی‌شناسی مرکز تحقیقات فرآوری مواد معدنی ایران صورت گرفت. نمونه‌ها توسط ریزپردازشگر الکترونی (EPMA)، مدل، کامکا SX100، با ولتاژ ۱۵ کیلو الکترون ولت، با باریکه الکترونی به اندازه ۳-۵ میکرون، حد آشکارسازی ۱۰۰ ppm و جریان ۲۰ نانو آمپر تجزیه شدند.

برای تعیین سن به روش اورانیوم - سرب، تعداد ۳۰ زیرکن از نمونه‌ی دیابازی گنبد نمکی بند معلم و تعداد ۴۰ زیرکن از نمونه‌ی دیابازی گنبد نمکی چمپه استخراج شدند. تعیین سن بر پایه‌ی روش سایش لیزری با طیف‌سنجی جرمی پلاسما (LA-ICPMS) انجام شد. جدایش زیرکن در شرکت زمین ریزکالوان در تهران و آماده‌سازی و تجزیه زیرکن‌ها در مرکز LaserChron در آریزونا، آمریکا صورت گرفت. مراحل آماده‌سازی و جدایش بلورهای زیرکن موجود در نمونه‌های دیابازی مورد بررسی، شامل خردایش سنگ، شستشو (گل-شویی و لاوک‌شویی)، برموفرم‌گیری (مقایسه با مایعات سنگین) و جدایش مغناطیسی کانی‌ها با هدف جداسازی کانی‌های سبک از سنگین سپس، جدایش کانی‌های زیرکن از دیگر کانی‌های سنگین با استفاده از میکروسکوپ سه بعدی است. برای تهیه‌ی قاب‌ها، بلورهای زیرکن انتخاب شده به همراه بلورهای زیرکن استاندارد (FC, SL-F, SL-mix, R33) در قاب اپوکسی قرار داده شد. با استفاده از فرچه‌های ۹، ۵، ۳ و ۱ میکرون، قاب‌ها صیقل داده شده و توسط محلول HNO₃ و HCL شسته شدند تا هر گونه سرب معمولی باقی‌مانده از سطح آنها زدوده شود. برای بررسی بلورهای زیرکن و چگونگی ناحیه‌بندی آنها تصاویر کاتدولومینسانس (CL) توسط میکروسکوپ الکترونی روبشی S-3400N(SEM) هیتاچی مجهز به شناساگر Gatan Chroma CL2، گرفته شد. در پایان، داده‌های ایزوتوپی توسط نرم‌افزار Isoplot پردازش و ترسیم شدند.

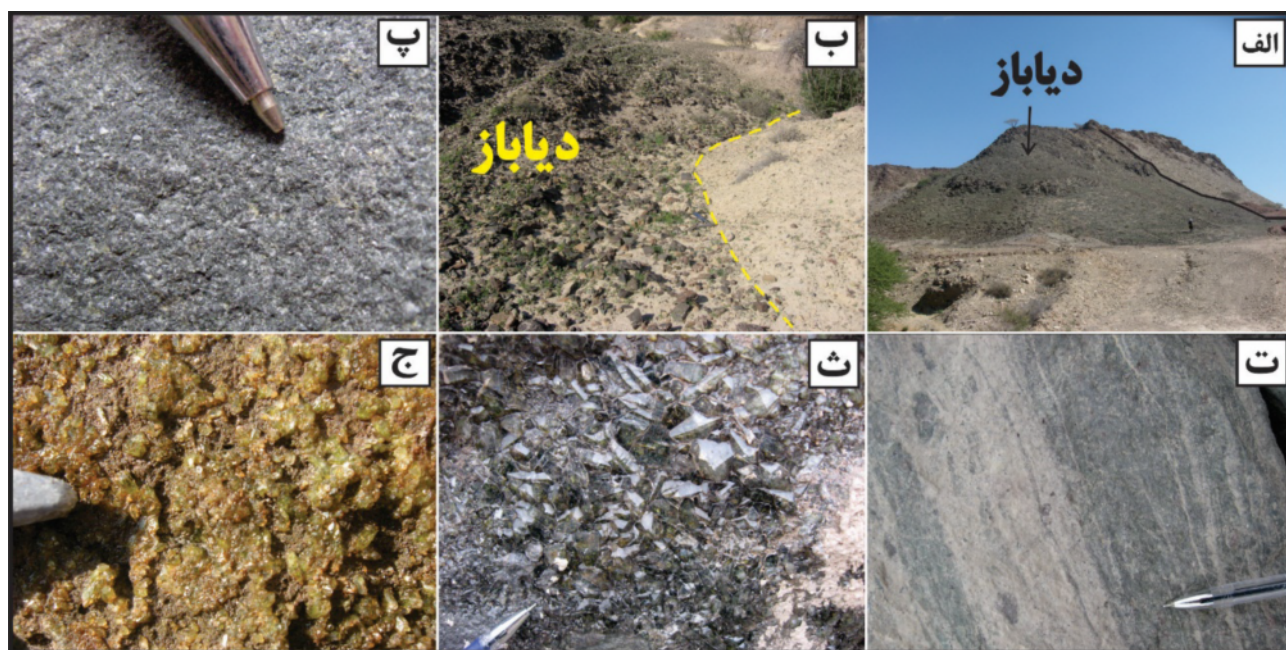
جایگاه و ویژگی‌های زمین‌شناسی منطقه مورد بررسی

منطقه‌ی مورد بررسی، در جنوب ایران (استان هرمزگان) قرار دارد که بخشی از سیستم آلپ-هیمالیا [۵] و جزء پهنه ساختاری زاگرس چین‌خورده محسوب می‌شود (شکل ۱ پ).

در این استان، توالی‌های زیرساختی پرکامرین پسین - تریاس میانی دیده شده‌اند و ردیف‌های نمکی این مجموعه (سری نمکی هرمز) را می‌توان به صورت تعداد زیادی گنبد نمکی در شمال و غرب بندرعباس مشاهده کرد. سایر واحدهای سنگ-شناسی دیده شده در این استان عبارتند از ردیف‌های کربناتی ژوراسیک کرتاسه پسین، توالی‌های همزمان کوهزائی سنوزوئیک دریائی یا غیردریائی، کربنات‌های زیرساختی ائوسن و اولیگو - میوسن (سازندهای چهارم و آسماری)، سنگ‌های میوسن (گروه فارس) شامل انباشته‌های گچی سازند گچساران، مارن‌های دریایی سازند میشان و انباشته‌های آواری قرمز رنگ سازند آغاجاری و انباشته‌های کنگلومرانی سازند بختیاری هستند (شکل ۱ پ [۲۲]). واحدهای سنگ‌شناسی دیده شده در گنبدهای نمکی مورد بررسی شامل لای سنگ، مارن‌های قرمز رنگ، گچ و مارن سازند گچساران، کنگلومرای دوره حاضر، گچ و مارن‌های شیاردار، لایه‌های آهکی سنوزوئیک، آهک استروماتولیت‌دار، سنگ‌گچ با شکل انحلالی، نهشته‌های آذرآواری به شدت دگرسان یا دگرگون شده، سازند آسماری دارای نومولیت و جلبک، سنگ آهک یا ماسه سنگ، مارن تجزیه شده و دارای نمک فراوان، برش فروریزشی و سنگ‌های آذرین فلسی و مافیک هستند.

بررسی‌های صحرائی و سنگ‌نگاری

توده‌های دیابازی مورد بررسی در منطقه به صورت دایک یا استوک نفوذ کرده‌اند (شکل ۲ الف) و مرز آنها با سنگ‌های پیرامون بیشتر تیز تا کمی تدریجی است (شکل ۲ ب). این سنگ‌ها در صحرا، رنگ سبز تیره تا سبز روشن دارند. در نمونه‌ی دستی، دانه‌ریز بوده و دربردارنده کانی‌های اولیه‌ی پلاژیوکلاز و پیروکسن و در بعضی مقاطع الیوین هستند. کانی‌های پیروکسن و الیوین، بیشتر به کانی‌های ثانویه‌ی آمفیبول، کلریت و اپیدوت تبدیل شده‌اند (شکل ۲ پ). بافت-های حفره‌ای و نواری در این سنگ‌ها دیده شده‌اند (شکل ۲ ت). در اثر فرآیندهای ثانویه، بوفور کانی‌های اولیژیست، کوارتز منشوری (شکل ۲ ث) و اپیدوت (شکل ۲ ج) و کمتر کلسیت لوزی رخ با رخ‌های کاملاً مشخص، در سطح این سنگ‌های دیابازی تشکیل شده‌اند. آثاری از مس و منگنز نیز در منطقه دیده شده است.



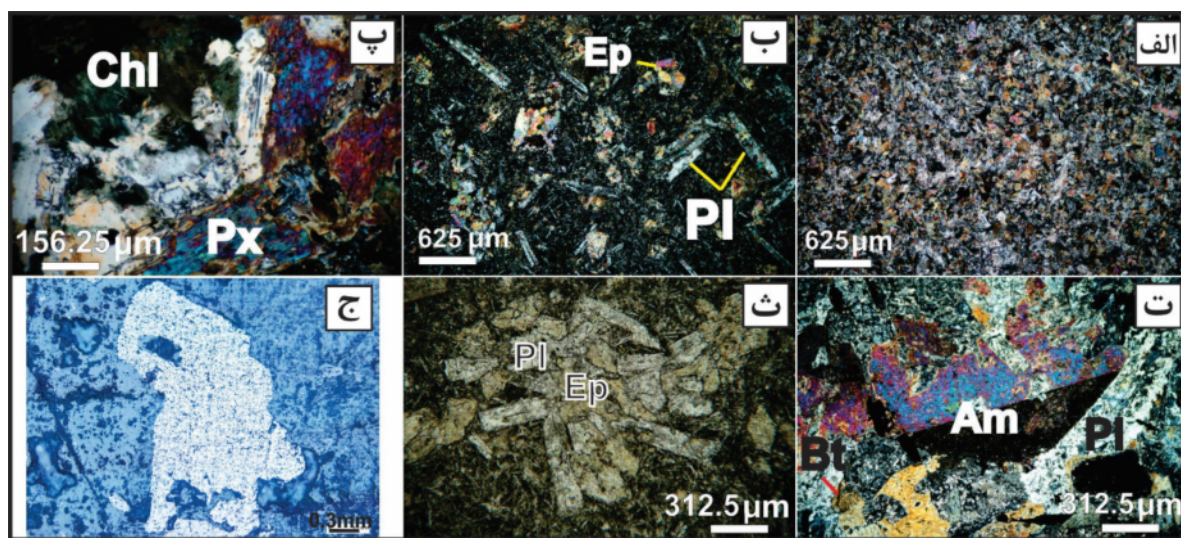
شکل ۲ تصاویری از سنگ‌های مافیک مورد بررسی و پدیده‌های در ارتباط با آنها در صحرا و در نمونه‌ی دستی. الف- توده‌های استوک مانند دیاباز. ب- دایک‌های دیابازی به طول ۱۰۰ متر نفوذ کرده در گنبد‌های نمکی. پ- دیاباز دانه ریز در نمونه‌ی دستی. ت- بافت نواری دیاباز در نمونه‌ی دستی. ث- کوارتزهای کاملاً شکلدار لوزی رخ متبلور در سطح دیابازهای مورد بررسی. ج- اپیدوت که به وفور در سطح سنگ‌های دیابازی دیده می‌شود.

هستند که در بعضی از نمونه‌ها دیده می‌شوند. در مقاطع صیقلی مورد بررسی، کانی‌های مگنتیت، هماتیت، پیریت، اکسیدهای آهن و کانی‌های سیلیکاته (باطله) با مقدار حجمی، به ترتیب ۳۳، ۱۶، ۲، ۲ و ۴۴ درصد شناسایی شده‌اند و انواع بافت‌های جانشینی (شکل ۳ ج)، مانند بافت جانشینی شبکه-ای، اسکلت مانند، دندان‌های و سوزنی، بافت خوردگی و ماتیتیزاسیون را نشان می‌دهند.

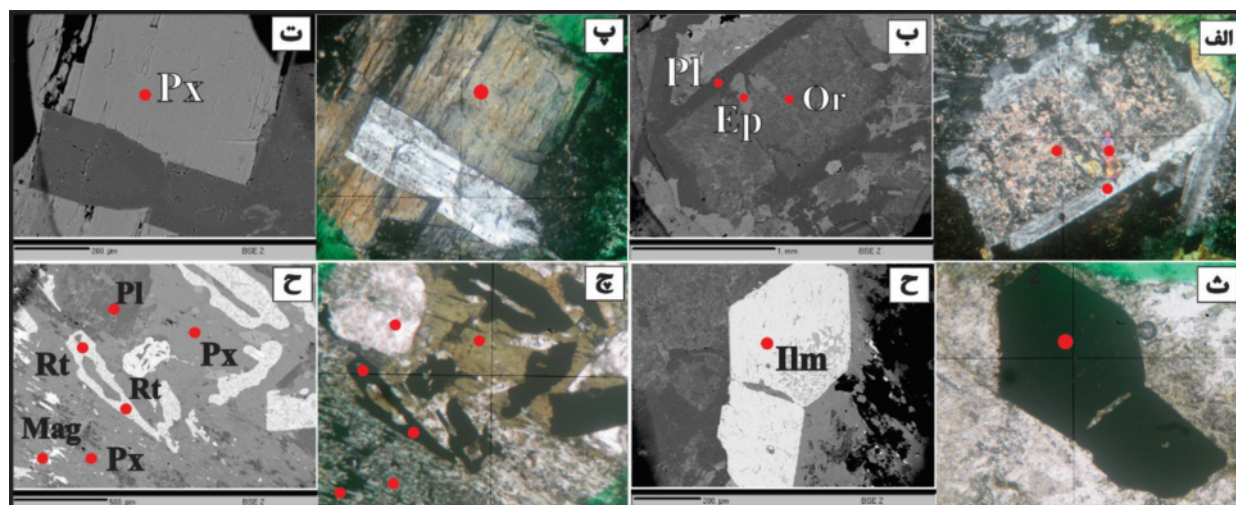
بحث و بررسی

بر اساس نتایج XRD سنگ‌های دیابازی مورد بررسی، کانی‌های کلریت (کلینوکلر)، کوارتز، الیگوکلاز، آمفیبول، پلاژیوکلاز، پیریت، مگنتیت، میکا-ایلیت، کلسیت، پیروکسن، هماتیت، اپیدوت، آل بیت، ایلمنیت و گارنت هستند [۲۳] و بر اساس بررسی‌های ریزپردازشی کانی‌های قلیایی فلدسپات، اپیدوت، پلاژیوکلاز فلدسپات، پیروکسن، آپاتیت، ایلمنیت، مگنتیت، روتیل، کلریت، اسفن، آمفیبول و پره‌نیت شناسایی شده‌اند (شکل ۴) [۲۳].

با توجه به بررسی‌های سنگ‌نگاری، کانی‌های اصلی این سنگ‌های دیابازی شامل پلاژیوکلاز، پیروکسن و کمتر الیون (در انواع با بافت پورفیری) و کانی‌های فرعی آن، آپاتیت و اسفن هستند (شکل ۳ پ). این سنگ‌ها، دستخوش فرآیندهای گرمایی، دگرسانی و دگرگونی رخساره‌ی شیست سبز شده‌اند و در نتیجه، کانی‌های کوارتز، کلسیت، کانی‌های رسی، هورنبلند، اکتینولیت، کلریت، اپیدوت، اکسید آهن، سرسیت، پلاگونیت، پمپلئیت، لوکوکسن، بیوتیت، زوئیسیت-کلینوزوئیسیت، آل بیت، الیگوکلاز، تورمالین خورشیدی، ادینگزیت و کانی‌های کدر به خرج کانی‌های اولیه‌ی سنگ، در آنها تشکیل شده‌اند (همه این کانی‌ها در یک مقطع وجود ندارند؛ شکل‌های ۳ ت و ث). این سنگ‌ها به انواع با بافت دانه ریز (شکل ۳ الف) و بافت دانه متوسط تقسیم می‌شوند و بافت کلی آنها، بافت بلاستوفیتی، بلاستوپورفیری (شکل ۳ ب) و بلاستوامیگدالی است. انواع بافت‌های خال خال، گلومروپورفیری و جریانی (در ریزسنگ‌های زمینه‌ی سنگ‌ها با بافت پورفیری) نیز انواع بافت‌های ماگمایی اولیه‌ی سنگ



شکل ۳ تصاویر سنگ‌نگاری از سنگ‌های مافیک مورد بررسی. الف- بافت دانه‌ریز (xpl). ب- بافت پورفیری یا بلاستوپورفیری (xpl). پ- پیروکسن‌های نسبتاً سالم که در حال دگرسان شدن هستند در کنار کلریت‌های ثانویه (xpl). ت- آمفیبول‌ها کاملاً شکلدار و احتمالاً اولیه با ماکل دوتایی و در حال تجزیه شدن به همراه آمفیبول هورنبلند و پلاژیوکلاز کاملاً دگرسان شد. مرکز کاملاً به کانی‌های ثانوی از جمله اپیدوت و کانی‌های کدر و کناره به آلبیت تبدیل شده است (xpl). ث- بافت گلوپورفیری دربردارنده کانی‌های پلاژیوکلاز اولیه و اپیدوت ثانویه (ppl). ج- کانی‌سازی هماتیت و اکسیدهای آهن به صورت پرشوندگی در اثر دگرسانی (PPL).



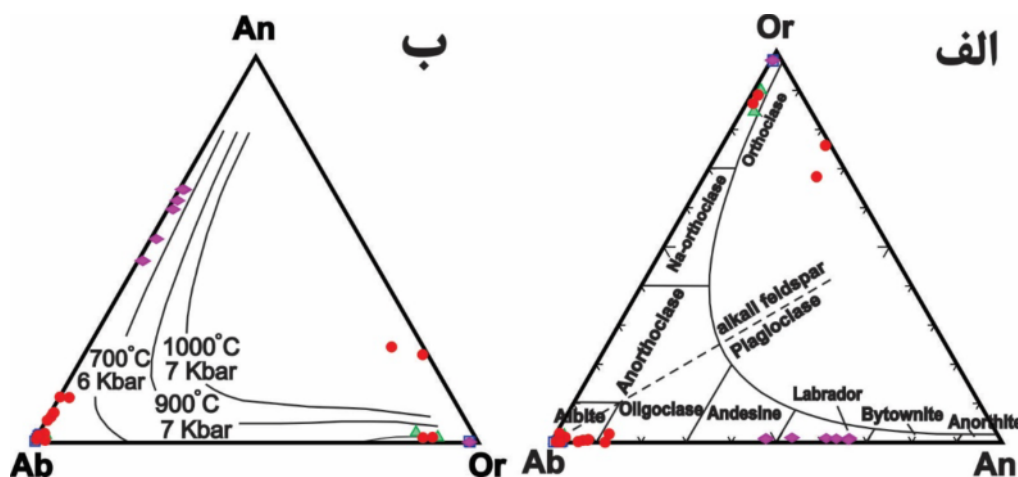
شکل ۴ تصاویر میکروسکوپ الکترونی به همراه تصاویر میکروسکوپی کانی‌های موجود در نمونه‌های دیابازی مورد بررسی از سازند هرمز واقع در جنوب ایران. الف، ب- پلاژیوکلاز با کناره سالم و مرکز تجزیه شده به کانی‌های ثانویه ی اپیدوت و ارتوز. پ، ت- پیروکسن سالم. ث، ج- ایلمنیت خودشکل. چ، ح- بافت پوست ماری شامل پلاژیوکلاز و پیروکسن به همراه روتیل و مگنتیت. نقاط قرمز رنگ مکان‌های تجزیه شده را نشان می‌دهند. علائم به کار رفته عبارتند از Px: پیروکسن، Pl: پلاژیوکلاز، Ep: اپیدوت، Or: ارتوکلاز، Mag: مگنتیت، Ilm: ایلمنیت و Rt: روتیل.

۹۹ متغیر است. براساس نمودار مثلثی Ab-An-Or (شکل ۵ الف) [۲۴]، نتایج ۲۲ تجزیه پلاژیوکلاز فلدسپات‌های موجود در دیابازهای سازند هرمز ترکیبات پراکنده‌ای بین لابرادوریت-آندزین و آلبیت-الیگولاکلاز را نشان می‌دهند، اما بطور کلی آلبیت و لابرادوریت هستند (جدول ۱). مقادیر بالاتر آلبیت

فلدسپات‌های قلیایی به صورت درشت بلورهای فرعی و فازهای بین دانه‌ای در سنگ‌های مورد بررسی رخ می‌دهند. پلاژیوکلاز فلدسپات‌ها بصورت درشت بلور و ریزدرشت بلور در این سنگ‌ها بسیار فراوان هستند. مقدار آنورتیت پلاژیوکلاز فلدسپات‌ها، از An ۴۷ تا ۶۶ و مقدار آلبیت آنها از Ab ۴۶ تا

ها دچار باز تبلور شده‌اند و این دما، دمای باز تبلور آنهاست. البته از شواهد سنگ‌نگاری، کاملاً مشخص است که این کانی در سنگ دیابازی اولیه، جزء کانی‌های ماگمایی بوده است اما ترکیب آن می‌توانست متفاوت باشد. ارتوکلزهای مورد بررسی، به دو گروه تفکیک می‌شوند: ۱) آنهایی که در دمای ۷۰۰ درجه‌ی سانتی‌گراد و فشار ۶ کیلو بار؛ و یا ۲) در دمای بیشتر از ۱۰۰۰ درجه‌ی سانتی‌گراد و فشار بیشتر از ۷ کیلو بار متبلور شده‌اند که نشان دهنده‌ی دمای ماگمایی این کانی‌ها و ماگمایی بودن آنهاست. کانی‌های آلبیت در دمای کمتر از ۷۰۰ درجه‌ی سانتی‌گراد و فشار کمتر از ۶ کیلو بار متبلور شده‌اند که دمای باز تبلور آنها در شرایط ثانویه است.

($< 98\%$ درصد) در پلاژیوکلز فلدسپات‌ها، می‌تواند نشان دهنده این باشد که این کانی‌ها دستخوش دگرسانی سدیم شده‌اند که احتمالاً مربوط به انحلال توده‌های بزرگ نمکی موجود در این دیابازهاست [۲۵]. فلدسپات‌های قلیایی در سنگ‌های دیابازی سازند هرمز معمول هستند و ترکیب آنها در گستره $Or_{0.7}$ تا Ab_1 ، Ab صفر تا 0.1 و An صفر تا 0.2 قرار دارد (جدول ۲) و بر اساس نمودار مثلثی $Ab-An-Or$ (شکل ۵ الف) [۲۴]، بیشتر آنها ارتوکلز و تعدادی آلبیت هستند. بر اساس نمودار $An-Or-Ab$ (شکل ۵ ب) [۲۶]، پلاژیوکلز فلدسپات‌های مورد بررسی سازند هرمز، در دمای کمتر از ۷۰۰ درجه‌ی سانتی‌گراد و فشار کمتر از ۶ کیلو بار متبلور شده‌اند. این دما نشان می‌دهد که این کانی‌ها ماگمایی نیستند و در شرایط ثانویه حاکم بر این سنگ-



شکل ۵ الف- نمودار طبقه‌بندی فلدسپات‌ها [۲۴]. ب- دماسنجی فلدسپات‌های موجود در دیابازهای مورد بررسی سازند هرمز بر اساس نمودار $An-Or-Ab$ ($P=6-7\text{ kb}$) [۲۶]. علائم به کار رفته عبارتند از دایره: دیابازهای گنبد نمکی باوردان؛ لوزی: دیابازهای توده‌ی ۴ گنبد نمکی بند معلم؛ مثلث: دیابازهای توده‌ی ۱ گنبد نمکی بند معلم؛ مربع: دیابازهای نابرجای گنبد نمکی زندان.

جدول ۱ گزیده‌ای از نتایج تجزیه ریزپردازش کانی‌های پلاژیوکلز فلدسپات موجود در دیابازهای مورد بررسی سازند هرمز.

| نمونه | SiO ₂ | Al ₂ O ₃ | CaO | Na ₂ O | K ₂ O | Si | Al | Ca | Na | K | An | Ab | Or |
|----------|------------------|--------------------------------|-------|-------------------|------------------|-------|-------|-------|-------|-------|-------|-------|------|
| PO-1-1 | ۶۷٫۵۶ | ۲۰٫۵۶ | ۰٫۴۲ | ۱۱٫۳ | ۰٫۳۳ | ۲٫۹۳۱ | ۱٫۰۵۱ | ۰٫۰۲ | ۰٫۹۵۲ | ۰٫۰۱۸ | ۲٫۰۲ | ۹۶٫۱۶ | ۱٫۸۲ |
| P3-L-2-2 | ۶۷٫۲۱ | ۲۱٫۱۷ | ۰٫۴۸ | ۱۱٫۳ | ۰٫۰۷ | ۲٫۹۲۳ | ۱٫۰۸۵ | ۰٫۰۲۲ | ۰٫۹۵ | ۰٫۰۰۴ | ۲٫۲۵ | ۹۷٫۳۴ | ۰٫۴۱ |
| PO-4-2 | ۵۶٫۱۲ | ۲۸٫۸۳ | ۱۰٫۱۳ | ۴٫۸۸ | ۰٫۲۱ | ۲٫۵۲۳ | ۱٫۵۲۷ | ۰٫۴۸۸ | ۰٫۴۲۵ | ۰٫۰۱۲ | ۵۲٫۷۶ | ۴۵٫۹۵ | ۱٫۳ |
| C2-3-4 | ۶۷٫۶۹ | ۲۰٫۳۳ | ۰٫۲۱ | ۱۱٫۲۲ | ۰٫۰۵ | ۲٫۹۷۶ | ۱٫۰۵۳ | ۰٫۰۱ | ۰٫۹۵۶ | ۰٫۰۰۳ | ۱٫۰۳۲ | ۹۸٫۶۶ | ۰٫۳۱ |

جدول ۲ گزیده‌ای از نتایج تجزیه ریزپردازش کانی‌های قلیایی فلدسپات موجود در دیابازهای مورد بررسی.

| نمونه | SiO ₂ | Al ₂ O ₃ | CaO | Na ₂ O | K ₂ O | Si | Al | Na | K | An | Ab | Or |
|----------|------------------|--------------------------------|------|-------------------|------------------|-------|-------|-------|-------|-------|-------|-------|
| PO-1-1 | ۵۲٫۳۶ | ۲۹٫۶۴ | ۰٫۲۳ | ۰٫۷۲ | ۱۱٫۷۲ | ۲٫۳۸۸ | ۱٫۵۹۳ | ۰٫۰۶۴ | ۰٫۶۸۲ | ۰٫۰۱۴ | ۰٫۰۸۴ | ۰٫۹۰ |
| P3-L-2-2 | ۶۵٫۲۵ | ۲۰٫۰۹ | ۰٫۰۴ | ۰٫۱۹ | ۱۵٫۲ | ۲٫۹۹۸ | ۱٫۰۸۸ | ۰٫۰۱۷ | ۰٫۸۹۱ | ۰٫۰۰۲ | ۰٫۰۱۹ | ۰٫۹۸ |
| PO-4-2 | ۶۴٫۲۷ | ۲۰٫۶۵ | ۰٫۰۴ | ۰٫۲ | ۱۵٫۱۲ | ۹٫۹۶۲ | ۱٫۱۲۲ | ۰٫۰۱۸ | ۰٫۸۸۹ | ۰٫۰۰۲ | ۰٫۰۲ | ۰٫۹۷۸ |
| C2-3-4 | ۶۶٫۱۲ | ۱۸٫۲۶ | ۰٫۱۳ | ۰ | ۱۵٫۴۹ | ۳٫۰۵۱ | ۰٫۹۹۳ | ۰ | ۰٫۹۱۲ | ۰٫۰۰۶ | ۰ | ۰٫۹۹۴ |

تجزیه ریزپردازش ۲۱ کلینوپروکسن موجود در دیابازهای سازند هرمز نشان داد که ترکیب شیمیایی آنها از $En_{33/8}$ تا $Fs_{58/9}$ ، $Wo_{22/7}$ تا $Wo_{45/8}$ متغیر است (جدول ۳). با توجه به نمودار $Wo-En-Fs$ (شکل ۶ الف) [۲۷]، این کانی‌ها اوژیت و دیوپسید بوده که دارای $Mg\#_{46/2}$ تا $61/7$ برای اوژیت و $80/4$ تا $88/4$ برای دیوپسید هستند. مقدار TiO_2 در کلینوپروکسن‌ها، از صفر تا $1/8$ درصد وزنی است که با مقدار Al_2O_3 از $0/4$ تا $6/87$ همخوانی دارد (جدول ۳). با توجه به نمودار $Wo-En-Fs$ (شکل ۶ ب) [۲۸]، گستره دمایی 1100 تا 1300 درجه سانتی‌گراد، برای کلینوپروکسن‌های مورد بررسی بدست آمده که نشان دهنده‌ی ماگمایی بودن این کانی‌هاست.

مقادیر Ti و Al در پروکسن‌های قلیایی، بالاتر از پروکسن‌های تولیتی هستند [۲۵]. این پروکسن‌ها در نمودار SiO_2 در مقابل Al_2O_3 (شکل ۷ الف) [۲۹]، بیشتر در گستره پروکسن‌های نیمه قلیایی و تعدادی در گستره قلیایی قرار می‌گیرند و با افزایش SiO_2 ، Al_2O_3 کاهش می‌یابد که این امر، احتمالاً زمانی رخ داده است که مقدار Al_2O_3 هم‌آرایی‌های چاروچی را طی جدایش ماگمای تولیتی تولید کرده است [۲۵]. در نمودار $F1-F2$ (شکل ۷ ب) [۳۰]، پروکسن‌های مورد بررسی، بیشتر در گستره بازالت‌های تولیتی درون صفحه‌ای یا بازالت‌های کف اقیانوسی قرار می‌گیرند. هنگامی که گدازه مادر اکسید شده باشد، مقدار Fe^{2+} کاهش و مقدار Fe^{3+} افزایش می‌یابد [۳۱]، در نتیجه، در نمودار FeO_{total} در پلاژیوکلاز فلدسپات نسبت به FeO_{total} در کلینوپروکسن (شکل ۷ پ) [۳۱]، FeO کل در کلینوپروکسن کاهش و در پلاژیوکلاز فلدسپات افزایش می‌یابد که نشان دهنده‌ی اکسید شدن گدازه مادر این کانی‌هاست.

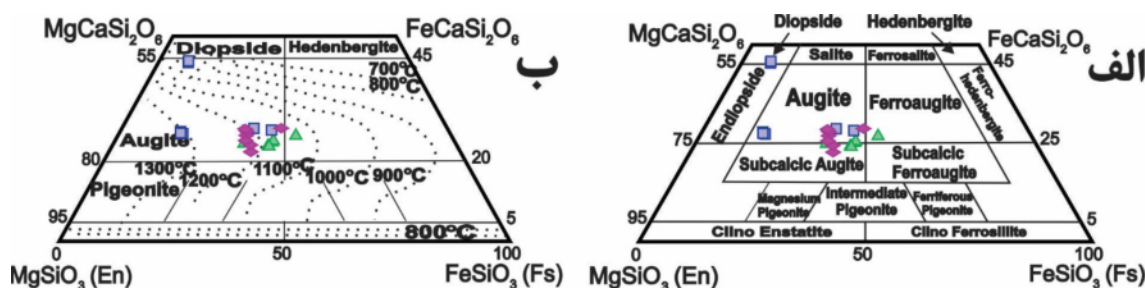
بر اساس شواهد صحرایی و سنگ‌نگاری، سنگ‌های دیابازی مورد بررسی، دستخوش دگرسانی و دگرگونی شده‌اند. سنگ‌های دیابازی مورد بررسی، دچار فرآیندهای دگرسانی از جمله اپیدوتی شدن، زوئیسیتی شدن، کلریتی شدن، اورالیتی شدن، آلبیتی شدن و کربناتی شدن شده‌اند که می‌تواند در اثر فرآیندهای دگرنهادی نفوذی [۵]، فعالیت آب دریا یا شوراب-های داغ در حال چرخش در این گنبد‌های نمکی [۲۵] و

دگرسانی گرمایی [۲۵،۵] توسط سیال‌های گرمایی با خاستگاه رسوبی [۲۵]، طی تشکیل این توده‌ها باشد. پورکاسب و همکاران [۱۹]، دگرسانی اپیدوتی شدن و کلریتی شدن را از دگرسانی‌های عمده‌ی سنگ‌های آذرین و اکسیدهای آهن در گنبد‌های نمکی جهانی (فیروزآباد) دانسته‌اند. از آنجاکه کانی‌های ثانویه، مانند کوارتز، کلسیت، الیثیست و مس خالص در سطح سنگ‌های مورد بررسی بوفور تشکیل شده‌اند، حضور و فعالیت سیال یا سیال‌های مسئول تشکیل این عناصر را ثابت می‌کند. البته دو نظریه برای چنین کانی‌زایی‌هایی وجود دارد: (۱) حضور و فعالیت سیال‌های گرمایی یا (۲) دگرگونی هم‌شیمی سنگ‌های دیابازی که باعث تغییر کانی‌ها شده است. تشکیل کانی‌های دگرسانی دما-پایین، مانند کلریت، کوارتز، کلسیت و اپیدوت، در سطح سنگ‌های دیابازی منطقه (شکل ۲) نشان می‌دهد که این سنگ‌ها دستخوش یک مرحله‌ی دگرسانی دما-پایین شده‌اند.

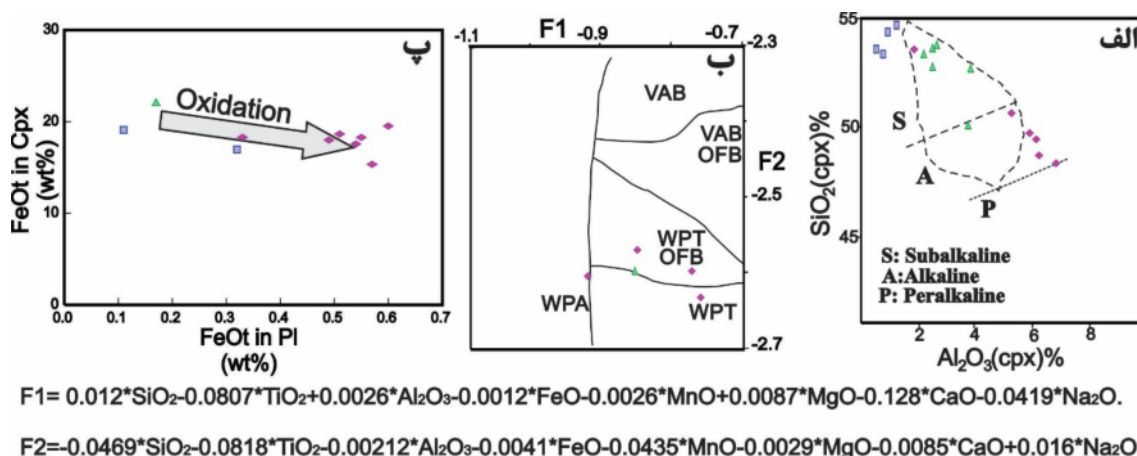
بر اساس شواهد صحرایی و سنگ‌نگاری، سنگ‌های دیابازی مورد بررسی دچار دگرگونی گرمایی در حد رخساره‌ی شیست سبز شده‌اند. بیشتر تغییرات کانی‌شناسی در دگرگونی گرمایی سنگ‌های آذرین، پسروده بوده و اغلب شامل جایگزینی کانی‌های سیلیکاته‌ی بدون آب توسط کانی‌های سیلیکاته‌ی آبدار هستند [۳۲]. حضور کانی‌های کلریت، آلبیت و کوارتز نشان دهنده‌ی دگرگونی در حد رخساره‌ی شیست سبز و وجود مجموعه‌ی شاخص آمفیبول و اپیدوت در سنگ‌های دیابازی مورد بررسی نشان دهنده‌ی انتقال از رخساره‌ی شیست سبز به آمفیبولیت این سنگ‌هاست [۳۳]. با این وجود، فراوانی قابل ملاحظه‌ی مودال کانی‌های سبز، مانند کلریت، اکتینولیت، اپیدوت در سنگ‌های مورد بررسی که علت رنگ سبز آنهاست، به همراه آلبیت \pm کوارتز، نشان دهنده‌ی دگرگونی آنها بیشتر در رخساره‌ی شیست سبز است [۳۳]. از آنجاکه کلسیت در سنگ‌های دیابازی مورد بررسی نسبتاً فراوان است، می‌توان نتیجه گرفت که سیال‌های آبدار غنی از CO_2 نقش قابل توجهی در دگرگونی این سنگ‌ها داشته‌اند و برهم‌کنش سنگ-سیال نیز به طور طبیعی باعث باز توزیع گسترده‌ی عناصر شیمیایی می‌شود [۳۳].

جدول ۳ گزیده‌ای از نتایج تجزیه ریزپردازش کانی‌های پیروکسن موجود در دیابازهای مورد بررسی.

| نمونه | SiO ₂ | FeO | MgO | CaO | Si | Di | Wo | En | Fs | Mg# |
|----------|------------------|-------|-------|-------|-------|-------|-------|-------|-------|-------|
| PO-1-1 | ۵۲٫۵۶ | ۱۹٫۶۹ | ۱۲٫۵۵ | ۱۰٫۹۴ | ۲٫۰۲۹ | ۵۳٫۱۷ | ۲۵٫۰۱ | ۳۹٫۸۷ | ۳۵٫۱۲ | ۵۳٫۱۷ |
| P3-L-2 | ۵۷٫۲۹ | ۸٫۸۲ | ۲۰٫۲۹ | ۱۳٫۱۹ | ۲٫۰۸۳ | ۸۰٫۴۱ | ۲۷٫۳۱ | ۵۸٫۴۵ | ۱۴٫۲۴ | ۸۰٫۴۱ |
| P3-L-2-2 | ۵۴٫۶۷ | ۱۶٫۹۷ | ۱۳٫۷۲ | ۱۲٫۹۹ | ۲٫۰۸ | ۵۹٫۰۳ | ۲۸٫۶۴ | ۴۲٫۱۲ | ۲۹٫۲۴ | ۵۹٫۰۳ |
| PO-4-2 | ۴۷٫۸۶ | ۱۸ | ۱۲٫۳۱ | ۱۰٫۲۹ | ۱٫۸۱ | ۶۱٫۰۹ | ۲۶٫۸۵ | ۴۴٫۶۹ | ۲۸٫۴۶ | ۶۱٫۰۹ |



شکل ۶ الف- تغییرات ترکیبی کلینوپیروکسن‌های موجود در دیابازهای گنبدی نمکی مورد بررسی که بر نمودار مثلی Wo-En-Fs پیروکسن رسم شده‌اند [۲۷]. Fs: فروسیلیت، Wo: ولاستونیت، En: انستاتیت. ب- نمونه‌ی تصویری از روابط پیروکسن‌ها در چهارضلعی Di-En-Hd-Fs که مجموعه‌های پیروکسن استفاده شده برای زمین‌دماسنجی نشان می‌دهد [۲۸]. علائم به کار رفته مشابه شکل ۵ هستند.



شکل ۷ الف- نمودار SiO₂ نسبت به Al₂O₃ برای کلینوپیروکسن‌های موجود در دیابازهای سازند هرمز مورد بررسی [۲۹]. ب- نمودار F1-F2 [۳۰] برای کلینوپیروکسن‌های مورد بررسی. VAB: بازالت‌های قوس آتشفشانی؛ OFB: بازالت‌های کف اقیانوسی؛ WPT: بازالت‌های تولیتی درون صفحه‌ای؛ WPA: بازالت‌های قلیایی درون صفحه‌ای. پ- نمودار FeO_{total} در پلاژیوکلاز نسبت به FeO_{total} در کلینوپیروکسن [۳۱] موجود در سنگ‌های دیابازی مورد بررسی. Cpx: کلینوپیروکسن، Pl: پلاژیوکلاز. علائم به کار رفته مشابه شکل ۵ هستند.

قلیایی، آپاتیت، روتیل، مگنتیت و پیریت جزء کانی‌های ماگمایی و اولیه‌ی سنگ محسوب می‌شوند و سایر کانی‌ها پیامد تجزیه و تبدیل کانی‌های اولیه در اثر واکنش با سیال‌های گرمایی و دگرسانی و دگرگونی گرمایی در رخساره‌ی شیبست سبز تا اوایل رخساره‌ی آمفیبولیت بوجود آمده‌اند (شکل ۸).

با توجه به بررسی‌های صحرائی، سنگ‌نگاری، نتایج XRD، شیمی کانی‌های ماگمایی اولیه، کانی‌های حاصل از فرآیندهای ثانویه‌ی دگرسانی و گرمایی به همراه دگرگونی موجود در سنگ‌های دیابازی مورد بررسی، همبستگی‌های احتمالی موجود در این سنگ‌ها در شکل ۸ نشان داده شده‌اند. در این شکل، کانی‌های پلاژیوکلاز، فلدسپات، پیروکسن، الیون، فلدسپات

| کانی ها | ماگمایی | دگرسانی و هیدروترمال | دگرگونی رخساره شیست سبز | دگرگونی رخساره اپیدوت-آمفیبولیت | دگرگونی رخساره آمفیبولیت |
|-------------------------|---------|-------------------------|----------------------------|------------------------------------|-----------------------------|
| لاپراوریت | | | | | |
| دیوپسید | | | | | |
| اوژیت | | | | | |
| الیون | | | | | |
| آلبیت | | | | | |
| الیگولاز | | | | | |
| ارتوکلز | | | | | |
| اکتینولیت | | | | | |
| هورنبلند | | | | | |
| اپیدوت | | | | | |
| زونیست و کلینوزونیست | | | | | |
| ریپیدولیت | | | | | |
| کلینوکار | | | | | |
| گارنت | | | | | |
| کلسیت | | | | | |
| کوارتز | | | | | |
| مگنتیت | | | | | |
| هماتیت | | | | | |
| پیریت | | | | | |
| ایلمنیت | | | | | |
| تیتانیت | | | | | |
| بیوتیت | | | | | |
| آپاتیت | | | | | |
| روئیل | | | | | |
| تورمالین | | | | | |
| پرهیت | | | | | |
| کانیهای رسی | | | | | |

شکل ۸ همبرزایی‌های احتمالی کانی‌های موجود در سنگ‌های دیابازی مورد بررسی در سازند هرمز که دستخوش فرآیندهای ثانویه (دگرسانی و گرمایی) و دگرگونی گرمایی شده‌اند.

از مجموعه‌ی ۱۶ دانه زیرکن مورد بررسی گنبد نمکی بند معلم (جدول ۴)، و ۲۰ دانه زیرکن گنبد نمکی چمپه (جدول ۵)، به ترتیب سن‌های $۵۳۹/۴ \pm ۶/۴$ میلیون سال پیش (شکل ۹ الف و ب) سن $۵۴۳/۵ \pm ۶/۱$ میلیون سال پیش (شکل‌های ۹ پ و ت) بدست آمد.

بررسی‌های فرامرزی و همکاران [۴] بر زیرکن‌های موجود در ریولیت‌های جزیره‌ی هرمز نشان داد که پی‌سنگ ماگمایی در این منطقه، در نئوپروتروزوئیک تا کامبرین پیشین سخت و محکم شده است. سن‌های بدست آمده برای زیرکن‌های موجود در سنگ‌های دیابازی مورد بررسی نشان دهنده‌ی سن تبلور، تشکیل و نفوذ این سنگ‌ها، در کامبرین پیشین هستند. در نتیجه، این توده‌های نفوذی می‌توانستند همزمان و/یا پس از شروع کافت‌شدگی نئوپروتروزوئیک تا کامبرین پیشین بخش

با توجه به تصاویر نورافشانی کاتدی، زیرکن‌های تجزیه شده‌ی گنبد نمکی بند معلم به صورت خودشکل تا نیمه شکلدار دیده می‌شوند، ناحیه‌بندی در آنها بسیار رایج است و طول آنها ۸۸ تا ۲۹۶ میکرومتر است. زیرکن‌های تجزیه شده‌ی گنبد نمکی چمپه به صورت خودشکل تا بی‌شکل دیده می‌شوند، ناحیه‌بندی در آنها نسبت به نمونه‌ی بند معلم کمتر است و طول آنها ۴۷ تا ۴۹۵ میکرومتر است. نسبت Th/U در نمونه‌های زیرکن مورد بررسی، در هر دو نمونه بالاست (۰/۱۶ تا ۳/۳ برای نمونه‌ی مورد بررسی گنبد نمکی بند معلم و ۰/۴ تا ۳/۳ برای نمونه‌ی گنبد نمکی چمپه؛ جدول‌های ۴ و ۵) که به همراه ناحیه‌بندی در آنها نشان دهنده‌ی خاستگاه ماگمایی بیشتر این زیرکن‌هاست [۳۴،۴]. با توجه به نمودارهای $^{206}Pb/^{238}U$ نسبت به $^{207}Pb/^{235}U$ و میانگین وزنی (شکل ۹)،

سن‌های 0.78 ± 39.61 و $22 \sim$ میلیون سال پیش را نشان می‌دهند (جدول‌های ۴، ۵ و شکل ۹) که می‌توانند زیرکن‌هایی باشند که زمان پالئوژن-نئوژن در این سنگ‌ها به دام افتاده‌اند.

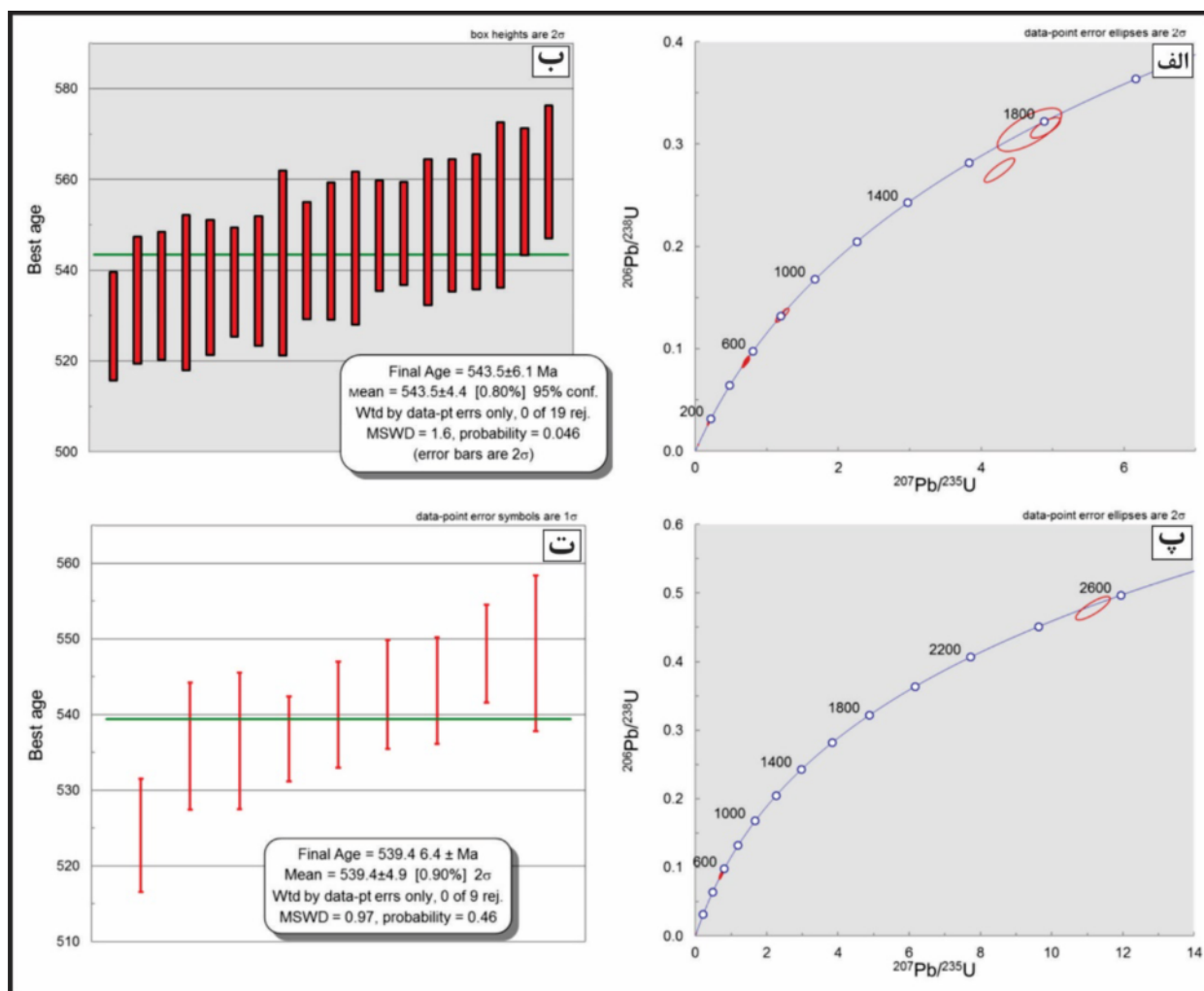
شمالی صفحه‌ی عربستان و رسوب‌گذاری سازند هرمز در حوضه‌ی خلیج فارس تشکیل شده باشند. دو نمونه از زیرکن-های گنبد نمکی بند معلم (PO-1-23 و PO-1-30) و یک نمونه از زیرکن‌های گنبد نمکی چمپه (CH-3-45)، به ترتیب،

جدول ۴ نتایج سن‌سنجی نمونه‌ی دیابازی گنبد نمکی بند معلم به روش U-Pb

| آنالیزها | Th,U | نسبت‌های ایزوتوپی | | | | | سن مشخص (Ma) | | | | بهترین سن (Ma) |
|-----------|---------|-------------------------------------|-------|-------------------------------------|-------|-----------|-------------------------------------|--------|-------------------------------------|--------|----------------|
| | | ²⁰⁷ Pb/ ²³⁵ U | ± (%) | ²⁰⁶ Pb/ ²³⁸ U | ± (%) | خطا تصحیح | ²⁰⁶ Pb/ ²³⁸ U | ± (Ma) | ²⁰⁷ Pb/ ²³⁵ U | ± (Ma) | |
| PO-1-31 | ۰.۱۶۱۲۹ | ۰.۱۷۶۹ | ۱.۸ | ۰.۲۵۹ | ۱.۴ | ۰.۸ | ۱۶۵ | ۲.۳ | ۱۶۵.۴ | ۲.۷ | ۱۶۵ |
| PO-1-18 r | ۰.۳۱۲۵ | ۰.۱۸۰۲ | ۲.۴ | ۰.۲۷۲ | ۱.۵ | ۰.۶۳ | ۱۷۳ | ۲.۶ | ۱۶۸.۳ | ۳.۷ | ۱۷۳ |
| PO-1-12 | ۰.۹۰۹۰۹ | ۰.۶۸۶۹ | ۱.۸ | ۰.۸۴۷ | ۱.۵ | ۰.۸۱ | ۵۲۴ | ۷.۵ | ۵۳۰.۹ | ۷.۵ | ۵۲۴ |
| PO-1-17 | ۲.۵ | ۰.۷۰۵۲ | ۲ | ۰.۸۶۷ | ۱.۶ | ۰.۸ | ۵۳۵.۸ | ۸.۴ | ۵۴۱.۹ | ۸.۶ | ۵۳۵.۸ |
| PO-1-29 | ۲ | ۰.۶۹۷۷ | ۱.۹ | ۰.۸۶۸ | ۱.۷ | ۰.۹ | ۵۳۶.۵ | ۹ | ۵۳۷.۴ | ۸.۱ | ۵۳۶.۵ |
| PO-1-16 | ۱.۴۲۸۵۷ | ۰.۷۰۱۲ | ۱.۶ | ۰.۸۶۸ | ۱.۱ | ۰.۶۹ | ۵۳۶.۷ | ۵.۶ | ۵۳۹.۵ | ۶.۶ | ۵۳۶.۷ |
| PO-1-33 | ۱.۶۶۶۶۷ | ۰.۷۱۱۹ | ۱.۷ | ۰.۸۷۴ | ۱.۴ | ۰.۷۸ | ۵۴۰ | ۷ | ۹۵۴.۵ | ۷.۳ | ۵۴۰ |
| PO-1-24 | ۳.۳۳۳۳۳ | ۰.۷۲۶ | ۱.۸ | ۰.۸۷۸ | ۱.۴ | ۰.۷۹ | ۵۴۲.۶ | ۷.۲ | ۵۵۴.۲ | ۷.۵ | ۵۴۲.۶ |
| PO-1-14 | ۰.۴۲۸۵۷ | ۰.۷۰۴۳ | ۱.۷ | ۰.۸۷۹ | ۱.۴ | ۰.۷۸ | ۵۴۳.۱ | ۷.۱ | ۵۴۱.۴ | ۷.۳ | ۵۴۳.۱ |
| PO-1-5 | ۲ | ۰.۷۱۳۲ | ۱.۶ | ۰.۸۸۷ | ۱.۲ | ۰.۷۷ | ۵۴۸.۱ | ۶.۵ | ۵۴۶.۷ | ۶.۸ | ۵۴۸.۱ |
| PO-1-7 | ۱.۱۱۱۱۱ | ۰.۷۱۶۱ | ۲.۲ | ۰.۸۸۷ | ۲ | ۰.۸۸ | ۵۴۸.۱ | ۱۰.۳ | ۵۴۸.۳ | ۹.۴ | ۵۴۸.۱ |
| PO-1-10 | ۰.۵۸۸۲۴ | ۱.۱۸۱۳ | ۱.۹ | ۰.۱۳۰۸ | ۱.۵ | ۰.۷۸ | ۷۹۲.۳ | ۱۱.۳ | ۷۹۱.۹ | ۱۰.۷ | ۷۹۲.۳ |
| PO-1-32 | ۰.۷۶۹۲۳ | ۱.۲۵۴۵ | ۱.۷ | ۰.۱۳۵۴ | ۱.۳ | ۰.۷۲ | ۸۱۸.۸ | ۹.۷ | ۸۲۵.۴ | ۹.۸ | ۸۱۸.۸ |
| PO-1-20 | ۰.۴۷۶۱۹ | ۴.۶۷۶۷ | ۳.۹ | ۰.۳۱۴۱ | ۲.۷ | ۰.۷ | ۱۷۶۰.۷ | ۴۲.۳ | ۱۷۶۳.۱ | ۳۲.۸ | ۱۷۶۶.۷ |
| PO-1-13 | ۰.۱۲۹۸۷ | ۴.۲۵۶۳ | ۲ | ۰.۲۷۴۵ | ۱.۷ | ۰.۸۶ | ۱۵۶۳.۷ | ۲۴.۲ | ۱۶۸۵ | ۱۶.۸ | ۱۸۴۰.۱ |
| PO-1-22 | ۰.۴۵۴۵۵ | ۴.۹۰۰۵ | ۱.۷ | ۰.۳۱۶۱ | ۱.۳ | ۰.۷۴ | ۱۷۷۰.۴ | ۲۰ | ۱۸۰۲.۳ | ۱۴.۷ | ۱۸۴۰.۲ |
| PO-1-30 | ۰.۹۰۹۰۹ | ۰.۴۰۵ | ۲.۹ | ۰.۰۰۶۱ | ۱.۷ | ۰.۵۷ | ۳۹.۵ | ۰.۷ | ۴۰.۳ | ۱.۲ | ۳۹.۵ |
| PO-1-23 | ۰.۹۰۹۰۹ | ۰.۳۹۵ | ۲.۸ | ۰.۰۰۶۲ | ۱.۱ | ۰.۳۷ | ۳۹.۷ | ۰.۴ | ۳۹.۴ | ۱.۱ | ۳۹.۷ |

جدول ۵ نتایج سن‌سنجی نمونه‌ی دیابازی گنبد نمکی چمپه به روش U-Pb

| آنالیزها | Th/U | نسبت‌های ایزوتوپی | | | | | سن مشخص (Ma) | | | | بهترین سن (Ma) |
|-----------|---------|---|--------------|---|--------------|--------------|---|---------------|---|---------------|----------------|
| | | $^{207}\text{Pb}^*$ $^{235}\text{U}^*$ | \pm (%) | $^{206}\text{Pb}^*$ ^{238}U | \pm (%) | خطا تصحیح | $^{206}\text{Pb}^*$ $^{238}\text{U}^*$ | \pm (Ma) | $^{207}\text{Pb}^*$ ^{235}U | \pm (Ma) | |
| CH-3-51 | ۱.۶۶۶۶۷ | ۰.۶۹۱۲ | ۱.۶ | ۰.۰۸۵۳ | ۱.۲ | ۰.۷۵ | ۵۲۷.۸ | ۶ | ۵۳۳.۵ | ۶.۵ | ۵۲۷.۸ |
| CH-3-48 | ۲ | ۰.۷۰۰۹ | ۱.۷ | ۰.۰۸۶۳ | ۱.۴ | ۰.۸۲ | ۵۳۳.۵ | ۷ | ۵۳۹.۳ | ۶.۹ | ۵۳۳.۵ |
| CH-3-57 r | ۳.۳۳۳۳۳ | ۰.۶۹۶۴ | ۱.۷ | ۰.۰۸۶۴ | ۱.۴ | ۰.۸۰ | ۵۳۴.۵ | ۷ | ۵۳۶.۶ | ۷.۲ | ۵۳۴.۵ |
| CH-3-43 | ۱.۶۶۶۶۷ | ۰.۶۹۹۲ | ۱.۹ | ۰.۰۸۶۶ | ۱.۷ | ۰.۸۶ | ۵۳۵.۲ | ۸.۵ | ۵۳۸.۳ | ۸.۱ | ۵۳۵.۲ |
| CH-3-56 c | ۲.۵ | ۰.۶۹۷۹ | ۱.۸ | ۰.۰۸۶۸ | ۱.۴ | ۰.۷۹ | ۵۳۶.۳ | ۷.۴ | ۵۳۷.۵ | ۷.۶ | ۵۳۶.۳ |
| CH-3-40 | ۱.۶۶۶۶۷ | ۰.۶۹۹۱ | ۱.۵ | ۰.۰۸۷۰ | ۱.۲ | ۰.۸۰ | ۵۳۷.۵ | ۶ | ۵۳۸.۲ | ۶.۱ | ۵۳۷.۵ |
| CH-3-55 r | ۱.۶۶۶۶۷ | ۰.۷۰۱۵ | ۱.۸ | ۰.۰۸۷۰ | ۱.۴ | ۰.۷۷ | ۵۳۷.۷ | ۷.۱ | ۵۳۹.۷ | ۷.۵ | ۵۳۷.۷ |
| CH-3-49 | ۳.۳۳۳۳۳ | ۰.۷۰۷۹ | ۲.۳ | ۰.۰۸۷۷ | ۲ | ۰.۸۷ | ۵۴۱.۷ | ۱۰.۲ | ۵۴۳.۵ | ۹.۵ | ۵۴۱.۷ |
| CH-3-44 | ۱.۴۲۸۵۷ | ۰.۷۰۹۶ | ۱.۷ | ۰.۰۸۷۸ | ۱.۲ | ۰.۷۵ | ۵۴۲.۲ | ۶.۵ | ۵۴۴.۵ | ۷ | ۵۴۲.۲ |
| CH-3-60 | ۲.۵ | ۰.۷۱۰۳ | ۱.۸ | ۰.۰۸۸۱ | ۱.۵ | ۰.۸۳ | ۵۴۴.۳ | ۷.۶ | ۵۴۴.۹ | ۷.۴ | ۵۴۴.۳ |
| CH-3-37 r | ۱.۶۶۶۶۷ | ۰.۷۲۰۳ | ۱.۹ | ۰.۰۸۸۲ | ۱.۶ | ۰.۸۴ | ۵۴۵ | ۸.۴ | ۵۵۰.۹ | ۸.۲ | ۵۴۵ |
| CH-3-53 | ۲ | ۰.۷۱۶۷ | ۱.۷ | ۰.۰۸۸۷ | ۱.۲ | ۰.۶۹ | ۵۴۷.۷ | ۶.۱ | ۵۴۸.۷ | ۷ | ۵۴۷.۷ |
| CH-3-39 | ۱ | ۰.۷۱۴۰ | ۱.۶ | ۰.۰۸۸۸ | ۱.۱ | ۰.۶۷ | ۵۴۸.۲ | ۵.۷ | ۵۴۷.۱ | ۶.۷ | ۵۴۸.۲ |
| CH-3-52 | ۱.۲۵ | ۰.۷۱۷۴ | ۲ | ۰.۰۸۸۸ | ۱.۵ | ۰.۷۵ | ۵۴۸.۵ | ۸.۱ | ۵۴۹.۱ | ۸.۶ | ۵۴۸.۵ |
| CH-3-50 r | ۱.۱۱۱۱۱ | ۰.۷۱۷۲ | ۱.۹ | ۰.۰۸۹۱ | ۱.۴ | ۰.۷۳ | ۵۵۰ | ۷.۳ | ۵۴۹ | ۸.۱ | ۵۵۰ |
| CH-3-41 | ۱.۶۶۶۶۷ | ۰.۷۲۰۵ | ۱.۷ | ۰.۰۸۹۲ | ۱.۴ | ۰.۸۴ | ۵۵۰.۸ | ۷.۴ | ۵۵۱ | ۷.۱ | ۵۵۰.۸ |
| CH-3-58 | ۰.۷۱۴۲۹ | ۰.۷۲۲۰ | ۲.۳ | ۰.۰۸۹۸ | ۱.۷ | ۰.۷۴ | ۵۵۴.۵ | ۹.۱ | ۵۵۱.۹ | ۹.۹ | ۵۵۴.۵ |
| CH-3-36 c | ۲.۵ | ۰.۷۴۰۰ | ۱.۷ | ۰.۰۹۰۳ | ۱.۳ | ۰.۷۸ | ۵۵۷.۴ | ۷ | ۵۶۲.۴ | ۷.۳ | ۵۵۷.۴ |
| CH-3-46 | ۱.۴۲۸۵۷ | ۰.۷۳۶۷ | ۱.۹ | ۰.۰۹۱۰ | ۱.۴ | ۰.۷۲ | ۵۶۱.۷ | ۷.۳ | ۵۶۰.۵ | ۸.۱ | ۵۶۱.۷ |
| CH-3-42 | ۰.۴۱۶۶۷ | ۱۱.۱۵۸۷ | ۱.۸ | ۰.۴۷۷۹ | ۱.۵ | ۰.۸۳ | ۲۵۱۸.۱ | ۳۰.۴ | ۲۵۳۶.۵ | ۱۶.۵ | ۲۵۵۱.۹ |
| CH-3-45 | ۰.۷۱۴۲۹ | ۰.۱۹۰ | ۴.۳ | ۰.۰۰۳۴ | ۱.۸ | ۰.۴۲ | ۲۲.۱ | ۰.۴ | ۱۹.۱ | ۰.۸ | ۲۲.۱ |



شکل ۹ نتایج تعیین سن سنگ‌های دیابازی مورد بررسی سازند هرمز به روش اورانیوم - سرب. الف- نمودار $^{206}\text{Pb}/^{238}\text{U}$ نسبت به $^{207}\text{Pb}/^{235}\text{U}$ برای نمونه ی دیابازی گنبد نمکی بند معلم. ب- نمودار میانگین وزنی برای سن‌های بدست آمده از دیابازی گنبد نمکی بند معلم. پ- نمودار $^{206}\text{Pb}/^{238}\text{U}$ نسبت به $^{207}\text{Pb}/^{235}\text{U}$ برای نمونه ی دیابازی گنبد نمکی چمپه. ت- نمودار میانگین وزنی برای سن‌های بدست آمده از نمونه ی دیابازی گنبد نمکی چمپه.

برداشت

دیابازهای سازند هرمز، ترکیبات کلی لابرادوریت، آلبیت و ارتوکلاز را نشان می‌دهد. لابرادوریت و آلبیت در دمای کمتر از 700°C درجه ی سانتی‌گراد و فشار کمتر از ۶ کیلو بار متبلور شده‌اند که نشان می‌دهد که این کانی‌ها ماگمایی نیستند و این دما، دمای باز تبلور آنهاست. ارتوکلازها به دو گروه تفکیک می‌شوند: آنهایی که (۱) در دمای 700°C درجه ی سانتی‌گراد و فشار ۶ کیلو بار و (۲) در دمای بیش از 1000°C درجه ی سانتی‌گراد و فشار بیشتر از ۷ کیلو بار متبلور شده‌اند. این دماها، نشان دهنده ی ماگمایی بودن این کانی‌هاست. کلینوپیروکسن‌های موجود در

با توجه به بررسی‌های سنگ‌نگاری و تجزیه‌های XRD و ریزپردازش، کانی‌های اصلی سنگ‌های دیابازی مورد بررسی شامل پلاژیوکلاز، پیروکسن و کمتر الیوین بوده که اغلب به کانی‌های ثانویه، شامل اپیدوت، هورنبلند، اکتینولیت، پتاسیم فلدسپات، آلبیت، کلریت، کوارتز، کلسیت، اکسید آهن، کانی-های رسی، گارنت، پالاگونیت، پمپلثیت، لوکوکسن، تیتانیت، پرهنیت، بیوتیت، زوئیسیت-کلینوزوئیسیت، هماتیت، ایلمنیت و ادینگزیت تبدیل شده‌اند. تجزیه فلدسپات‌های موجود در

کافت‌شدگی نئوپروتروزوئیک تا کامبرین پیشین بخش شمالی صفحه‌ی عربستان و رسوب‌گذاری سازند هرمز در حوضه‌ی خلیج فارس تشکیل شده باشند. تعدادی از زیرکن‌ها نیز زیرکن‌های به دام افتاده به سن پالئوژن-نئوژن هستند.

قدردانی

نویسندگان مقاله، از دانشگاه هرمزگان برای تأمین مخارج این پژوهش تشکر می‌کنند.

مراجع

- [1] Husseini M.I., Husseini S.I., "Origin of the Infracambrian Salt Basins of the Middle East", From BROOKS, J. (ed.), Classic Petroleum Provinces, Geological Society Special Publication 50 (1990) 279-292.
- [2] Mortazavi M., Jafari Sadr A., Houshmandzadeh A., "Progress report on studying salt domes of Hormozgan province", Prepared in Mineral Department of Hormozgan Governorate Economic Review Group Report number 1. (1989).
- [3] McQuillan H., "The role of basement tectonics in the control of sedimentary facies, structural patterns and salt plug emplacements in the Zagros fold belt of southwest Iran", Journal of Southeast Asian Earth Sciences 5(1) (1991) 453-63.
- [4] Faramarzi N.S., Amini S., Schmitt A.K., Hassanzadeh J., Borg G., McKeegan K., Razavi S.M.H., Mortazavi S.M., "Geochronology and geochemistry of rhyolites from Hormuz Island, southern Iran: A new record of Cadomian arc magmatism in the Hormuz Formation", Lithos 236-237 (2015) 203-211.
- [5] Bosak P., Garos J., Spudil J., Sulovsky P., Vaclavak V., "Salt plugs in the East Zagros, Iran: Results of Regional Geological Reconnaissance", Geolines, (Praha) (1998) 7.
- [6] Gansser A., "The enigma of the Persian salt dome inclusions", Eclogae Geologicae Helvetiae. Symposium on Swiss Molasse Basin 85 (1992).
- [7] Rahnama-Rad J., Farhoudi G., Ghorbani H., Habibi Mood Sh., Derakhshani R., "Pierced salt domes in the Persian Gulf and in the Zagros mountain ranges in southern Iran and their relationship to hydrocarbon and basement

دیابازهای سازند هرمز، اوژیت و دیوپسید هستند و یک گستره دمایی ۱۱۰۰ تا ۱۳۰۰ درجه سانتی‌گراد برای این کانی‌ها بدست آمده است که نشان دهنده‌ی ماگمایی بودن این کانی-هاست. این پیروکسن‌ها، بیشتر نیمه قلیایی و تعدادی قلیایی هستند و در گستره بازالت‌های تولیتی درون صفحه‌ای یا بازالت‌های کف اقیانوسی قرار می‌گیرند. گدازه مادر پلاژیوکلاز فلدسپات‌ها و کلینوپیروکسن‌های مورد بررسی اکسید شده است.

این سنگ‌ها، دستخوش دگرسانی‌های اپیدوتی‌شدن، زوئیسیتی‌شدن، کلریتی‌شدن، اورالیتی‌شدن، آلبیتی‌شدن و کربناتی‌شدن و همچنین، بیشتر دچار دگرگونی گرمایی رخساره‌ی شیست سبز شده‌اند اما شرایط دگرگونی انتقالی از رخساره شیست سبز به رخساره‌ی آمفیبولیت را نیز نشان می‌دهند. بیشتر دگرسانی‌های این سنگ‌ها، مربوط به فرآیند دگرنهادی نفوذی در اثر فعالیت آب دریا یا شوراب‌های داغ در حال چرخش در این گنبد‌های نمکی و دگرسانی گرمایی توسط سیال‌های گرمایی با خاستگاه رسوبی، در زمان تشکیل این توده‌هاست. سیال‌های آبدار غنی از CO₂ و برهم کنش سنگ-سیال، نقش قابل توجهی در دگرگونی این سنگ‌ها داشته‌اند. کانی‌های پلاژیوکلاز فلدسپات، پیروکسن، الیون، فلدسپات قلیایی، آپاتیت، روتیل، مگنتیت و پیریت جزء کانی‌های ماگمایی و اولیه‌ی سنگ محسوب می‌شوند و سایر کانی‌ها، در نتیجه تجزیه و تبدیل کانی‌های اولیه، در اثر واکنش با سیال-های گرمایی و دگرسانی و دگرگونی گرمایی بوجود آمده‌اند.

زیرکن‌های تجزیه شده‌ی گنبد نمکی بند معلم و گنبد نمکی چمپه، بیشتر خاستگاه ماگمایی دارند. زیرکن‌های مورد بررسی گنبد نمکی بند معلم (۱۶ دانه زیرکن)، سن $6/4 \pm$ ۵۳۹/۴ میلیون سال پیش و زیرکن‌های مورد بررسی گنبد نمکی چمپه (۲۰ دانه زیرکن)، سن $6/1 \pm$ ۵۴۳/۵ میلیون سال پیش را نشان می‌دهند که نشان دهنده‌ی سن تبلور و تشکیل سنگ‌های دیابازی مورد بررسی، در کامبرین پیشین هستند. این دیابازها، می‌توانستند همزمان و/یا پس از شروع

- Island Apatite*", Journal of Economic Geology 1(6) (2014).
- [19] Pourkaseb H., Rangzan K., Charchi A., Saiedi S., "Mineralogical studies of Igneous rocks in Jahani salt dome (Firuzabad), with emphasis on their economic importance", Second National Conference of the Iranian Economic Geology Society (2012).
- [20] Aghanabati A., Fotouhi V., Escandari S., "The geological and Exploratory activities carried out in provinces and the third five years program", ministry of mine and industries, the Ministry of Industry and Mines, Geological Survey of Iran report(1) (2002).
- [21] Momenzadeh M., Heidari E., "Genesis and formation of the Hormoz Formation and its mineral resources: a genetic analyses", Geological Survey of Iran (1990).
- [22] National Geosciences Database, <http://ngdir.ir/GeoportalInfo/PSubjectInfoDetail.asp?PID=725&index=7> (2015).
- [23] Ahmadi Moghadam P., "Petrogenesis of mafic igneous rocks in the Hormuz series, south of Iran", Doctor of Philosophy (PhD) thesis, not defended.
- [24] Deer W.A., Howie R.A., Zussman J., "Rock-Forming Minerals", New York: Wiley 4 (1963) 2.
- [25] Taghipour S., Khalili M., Mackizadeh M.A., Kananian A., Taghipour B., "Mineralogy, geochemistry and petrogenesis of igneous inclusions within three inactive diapirs, Zagros belt, Shahre-kord, Iran", Geol. Mag. 150 (1) (2013) 72–88.
- [26] Fuhrman M.L., Lindsley D.H., "Ternary-feldspar modeling and thermometry", American Mineralogist 73 (1988) 201–215.
- [27] Morimoto N., "Nomenclature of pyroxenes", Canadian Mineralogist 27 (1989) 143–156.
- [28] Lindsley D.H., Andersen D.J., "A two-pyroxene thermometer", Journal of Geophysical Research 88 (S2) (1983) A887–A906.
- [29] LE BAS M.J., "The role of aluminum in igneous clinopyroxene with relation to their parentage", American Journal of Science 260 (1962) 267–88.
- tectonics", Iranian Journal of Earth Sciences 1 (2009) 57–72.
- [8] Talbot C.J., Jarvis R.J., "Age, budget and dynamics of an active salt extrusion in Iran", Journal of Structural Geology 6(5) (1984) 521–533.
- [9] Talbot C.J., "Extrusions of Hormuz salt in Iran", Geological Society, London, Special Publications 143 (1998) 315–334.
- [10] Talbot C., Aftabi P., Chemia Z., "Potash in a salt mushroom at Hormoz Island, Hormoz Strait, Iran", Ore Geology Reviews 35 (2009) 317–332.
- [11] Ghazban F., Al-Aasm I.S., "Hydrocarbon-induced diagenetic dolomite and pyrite formation associated with the Hormoz Island salt dome, offshore Iran", Journal of Petroleum Geology 33(2) (2010) 183–196.
- [12] Edgell H.S., "Salt tectonism in the Persian Gulf Basin", Salt Tectonics, Geological Society Special Publication 100 (1996) 129–151.
- [13] Kent P.E., "The Emergent Hormoz Salt Plugs of Southern Iran", Journal of Petroleum Geology 2(2) (1979) 117–144.
- [14] Jahani S., Callot J.P., Letouzey J., Frizon de Lamotte D., "The eastern termination of the Zagros Fold-and-Thrust Belt, Iran: Structures, evolution, and relationships between salt plugs, folding, and faulting", TECTONICS 28 (2009).
- [15] Reuning L., Schoenherr J., Heimann A., Urai J.L., Littke R., Kukla P.A., Rawahi Z., "The surface-piercing salt domes in the Ghaba Salt Basin (Oman): A comparison to the intra-salt hydrocarbon play of the Ara Group", Geophysical Research Abstracts 11 (2009).
- [16] Taghipour S., Taghipour B., "Mineralogical studies of metasomatic minerals within volcanic rocks of High Zagros salt domes", Iranian Journal of Crystallography and Mineralogy 4(17) (1388) 535–550.
- [17] Atapour H., Aftabi A., "Rapitan-type banded iron formation at Hormuz Island, Iran", Geological Survey of Iran, The 30th Symposium, Programme with Abstracts with English abstract (2012).
- [18] Rostami A., Baz Amad M., Haj Alilu B., Moazzen M., "Study of the Geochemical behaviour of rare earth minerals in the Hormoz

- [33] Bucher K., Grapes R., “*Petrogenesis of Metamorphic Rocks*”, Springer-Verlag Berlin Heidelberg (2011).
- [34] Wu C.Z., Santosh M., Chen Y., Samson I.M., Lei R.X., Dong L.H., Qu X., Gu L.X., “*Geochronology and geochemistry of Early Mesoproterozoic meta-diorite sills from Quruqtagh in the northeastern Tarim Craton: Implications for breakup of the Columbia supercontinent*”, *Precambrian Research* 241 (2014) 29– 43.
- [30] Nisbet E.G., Pearce J.A., “*Clinopyroxene composition in mafic lavas from different tectonic settings*”, *Contributions to Mineralogy and Petrology* 63 (1977) 149–60.
- [31] France L., Ildefonse B., Koepke J., Bech F., “*A new method to estimate the oxidation state of basaltic series from microprobe analyses*”, *Journal of Volcanology and Geothermal Research* 189 (2010) 340–346.
- [32] Spray A., “*METAMORPHIC TEXTURES*”, Pergamon Press Ltd. (1969).